

# Algorithmen und Datenstrukturen

## Vorlesung #10 – Approximative Algorithmen und Flussgraphen



Benjamin Blankertz

Lehrstuhl für Neurotechnologie, TU Berlin

[benjamin.blankertz@tu-berlin.de](mailto:benjamin.blankertz@tu-berlin.de)



24 · Jun · 2020

## ► Approximative Algorithmen

- Metrisches TSP: gut, aber nicht beliebig gut approximierbar
- Allgemeines TSP: nicht approximierbar
- 0/1-Rucksackproblem: beliebig gut approximierbar
- Approximationsschema

## ► Flussgraphen

- Schnitte durch Graphen
- Herausforderungen: **maximaler Fluss** (*maxflow*), **minimaler Schnitt** (*mincut*)
- Fluss-vergrößernde Pfade
- Allgemeine *maxflow* Methode: **Ford-Fulkerson**
- Grenzen der Ford-Fulkerson Methode
- kürzeste Pfade: **Edmonds-Karp** Algorithmus
- dicke Pfade: **Capacity Scaling** Algorithmus

# Motivation von Approximativen Algorithmen

- ▶ Heuristische Verfahren erlauben es für bestimmte Problemklassen schnelle Lösungen zu generieren.
- ▶ Diese Lösungen sind oft nicht optimal, und man bekommt **keine Garantie**, wie stark die Abweichung vom Optimum maximal ist.
- ▶ Eine positive Ausnahme ist der A\* Algorithmus, der zumindest bei Verwendung einer konsistenten Heuristik effizient eine *optimale* Lösung findet.

## ► Konzept:

- Approximative Algorithmen begnügen sich mit **suboptimalen** Lösungen

## ► Ziele:

- **schnellere Laufzeit** (auch im worst-case und bei NP-schweren Problemen)
- **Garantie**, wie groß die Abweichung vom Optimum maximal ist

## $\rho$ -Approximationsalgorithmus

Ein Algorithmus wird (für  $\rho \geq 1$ ) als  **$\rho$ -Approximationsalgorithmus** bezeichnet, wenn für seinen Lösungswert  $C$  im Vergleich zum optimalen Wert  $C^*$  gilt:

$$C \leq \rho C^* \quad \text{für Minimierungs-, bzw.} \quad C \geq C^*/\rho \quad \text{für Maximierungsprobleme}$$

# Approximationen für das metrische TSP

- ▶ **Metrisches TSP**: Entfernungen zwischen Knoten erfüllen **Dreiecksungleichung**:  
 $c(u, w) \leq c(u, v) + c(v, w)$  für jeden Knotenfolge  $u - v - w$
- ▶ Hierfür gibt es effiziente approximative Algorithmen:
- ▶ Christofides Algorithmus: Lösung in  $\mathcal{O}(V^4)$  mit höchstens 1.5-mal den Kosten des Optimums. Dies ist die beste bekannte Approximation.
- ▶ Es kann unter  $P \neq NP$  **keine beliebig guten** Approximationen geben. Bislang ist  $\frac{123}{122}$  als schärfste Schranke bekannt [Karpinski et al, 2015].
- ▶ Hier: einfache Variante mit höchsten 2 mal den Kosten des Optimums (2-Approximationsalgorithmus)

# Pseudocode zur 2-Approximation des metrischen TSP

- ▶ Dieser Ansatz nimmt einen minimalen Spannbaum als Ausgangsbasis.
- ▶ Dieser wird in eine TSP-Tour verwandelt.

Listing 1: **TSP-Tour mit maximal dem doppelten der optimalen Kosten.**

```
1 APPROX-TSP-TOUR( $G$ )  
2 bestimme einen minimalen Spannbaum  $T$  von  $G$  mit bel. Startknoten  $s$   
3 sei  $H$  die Liste der Knoten von  $T$  in Nebenreihenfolge  
4  $H$  stellt als Zyklus eine TSP-Tour dar
```

- ▶ Zur Erinnerung aus VL #7:  
Nebenreihenfolge = Reihenfolge des Entdecktwerdens in DFS

## 2-Approximation für das metrische TSP

### Korrektheit und Approximation von APPROX-TSP-TOUR

APPROX-TSP-TOUR liefert eine korrekte TSP-Tour (jeder Knoten wird genau einmal besucht) in einer Laufzeit in  $\mathcal{O}(V^2 \log V)$ .

Die Tour hat maximal die zweifache Länge einer optimalen Tour.

#### **Beweis.**

- ▶ Die Laufzeit von Prim für den MST ist in  $\mathcal{O}(E \log V)$ . Die anschließende Tiefensuche zur Sortierung der Knoten ist in  $\mathcal{O}(V^2)$ . Da in der vorliegenden Situation  $E \in \mathcal{O}(V^2)$  gilt, ist die Laufzeit wie behauptet.
- ▶ Eine TSP-Tour wird durch Entfernung einer beliebigen Kante zu einem Spannbaum, also ist die Länge des MST eine untere Schranke für die Länge der optimalen TSP-Tour  $TSP^*$ :

$$c(MST) \leq c(TSP^*)$$

## 2-Approximation für das metrische TSP

- ▶ Außerdem kann der MST in einen Zyklus umgewandelt werden, der fast eine (suboptimale) TSP-Tour darstellt:
- ▶ Dazu betrachten wir die **vollständige Traversierung** des MST:  
Bei einer Tiefensuche werden Knoten sowohl bei dem Besuch (Eingangsstempel), als auch beim Verlassen (Ausgangsstempel) in einer Liste gespeichert.
- ▶ Diese Traversierung  $W$  passiert jede Kante des MST zweimal.
- ▶  $W$  bildet einen Zyklus (da DFS zur Wurzel zurückkehrt) und es gilt

$$c(W) = 2c(MST) \leq 2c(TSP^*)$$

- ▶ Allerdings ist der Zyklus  $W$  noch keine zulässige TSP Tour, da die Knoten mehrfach (genauer gesagt doppelt) besucht werden.
- ▶ Dies kann durch einen kleinen Umbau des Zyklus behoben werden.



## 2-Approximation für das metrische TSP

- ▶ Bei dem Durchlaufen von  $W$  wird jeder Knoten, der vorher schon besucht wurde, ausgelassen. Die resultierende Tour  $T$  besucht jeden Knoten nur einmal.
- ▶ Durch das Überspringen eines Knotens wird die Länge des Zyklus nicht länger:
- ▶ Sei  $u - v - w$  eine Knotenfolge des ursprünglichen Zyklus, aus der der Knoten  $v$  ausgelassen wird. Wegen der Dreiecks-Ungleichung gilt:

$$c(u, w) \leq c(u, v) + c(v, w)$$

- ▶ Daher erhalten wir insgesamt die Abschätzung

$$c(T) \leq c(W) = 2c(MST) \leq 2c(TSP^*)$$

- ▶ Da die Tour  $T$  genau der Rückgabe von APPROX-TSP-TOUR entspricht, ist damit die Behauptung bewiesen.  $\square$

# Nicht-Approximierbarkeit des allgemeinen TSP

- ▶ Nun folgt das ernüchternde Resultat, dass es für das allgemeine Handlungsreisendenproblem (also ohne die Voraussetzung der Dreiecksungleichung) **gar keine Approximation** geben kann.

Das allgemeine Handlungsreisendenproblem ist nicht approximierbar

Unter der Voraussetzung  $P \neq NP$  gibt es für kein  $\rho \geq 1$  einen  $\rho$ -Approximationsalgorithmus mit polynomieller Laufzeit für das allgemeine TSP.

## Beweis.

- ▶ Wir nehmen an, dass es für ein  $\rho \geq 1$  einen  $\rho$ -Approximationsalgorithmus  $\mathcal{X}$  mit polynomieller Laufzeit für das TSP gibt.
- ▶ Da die Approximation dann auch für alle größeren Zahlen gilt, können wir  $\rho$  als **ganzzahlig** voraussetzen (z.B. durch Aufrunden).
- ▶ Wir zeigen, dass sich mit  $\mathcal{X}$  auch das Hamilton-Zyklus Problem lösen lässt.

# Nicht-Approximierbarkeit des allgemeinen TSP

- ▶ Sei ein Graph  $G = (V, E)$  gegeben, für den die Existenz eines Hamilton-Kreis festgestellt werden soll.
- ▶ Wir definieren den vollständigen und gewichteten Graphen  $G' = (V, E', c)$  durch

$$E' = \{(v, w) \in V \times V \mid v \neq w\}$$

$$c(v, w) = \begin{cases} 1 & \text{falls } (v, w) \in E \\ \rho V + 1 & \text{sonst} \end{cases}$$

- ▶ Offensichtlich kann  $G'$  in polynomieller Zeit in  $V$  und  $E$  aus  $G$  erstellt werden.
- ▶  $G'$  ist so definiert, dass der  $\rho$ -Approximationsalgorithmus  $X$  für das TSP in  $G'$  die Frage nach dem Hamilton-Zyklus in  $G$  beantwortet!

# Nicht-Approximierbarkeit des allgemeinen TSP

- Die Kosten für die optimale TSP-Tour unterscheiden sich um mehr als den Faktor  $\rho$ , abhängig davon, ob ein Hamilton-Zyklus in  $G$  existiert oder nicht.
  - ▶ Daher könnte der  $\rho$ -Approximationsalgorithmus  $\mathcal{X}$  die Hamilton-Frage entscheiden:
  - ▶ Wir wenden  $\mathcal{X}$  auf das TSP  $G'$  an und unterscheiden nach den Kosten der gefundenen Tour  $T$ :
- 1  $c(T) \leq \rho V$ : Die Tour enthält nur Kanten, die zu  $G$  gehören, da alle anderen Kanten Kosten  $\rho V + 1$  haben. Daher stellt die TSP-Tour  $T$  einen Hamilton-Zyklus in  $G$  dar.
  - 2  $c(T) > \rho V$ : Die optimale Tour kann sich maximal um den Faktor  $\rho$  unterscheiden, hat also Kosten  $> V$ . Da ein Hamilton-Zyklus in  $G$  eine TSP Tour mit Kosten  $V$  wäre, kann es diesen nicht geben, wenn die optimale TSP Tour Kosten  $> V$  hat.

# Approximativer Ansatz für das 0/1-Rucksack Problem

- ▶ Mittels dynamischer Programmierung konnte ein Algorithmus für das 0/1-Rucksackproblem mit **pseudopolynomieller** Laufzeit formuliert werden.
- ▶ Die Laufzeit in  $\mathcal{O}(KW)$  kann für große Kapazitätsgrenzen  $W$  sehr schlecht sein.
- ▶ Mit einem **approximativen Algorithmus** kann man effizient Lösungen finden, die beliebig nah am Optimum sind.
- ▶ Wenn im Rahmen von dynamischer Programmierung die Laufzeit verbessert werden soll, muss die Tabelle verkleinert werden.
- ▶ Im Sinne einer approximativen Lösung ist dies im Prinzip durch eine Skalierung einer Variable der  $\text{OPT}$  Funktion möglich.
- ▶ Die Anzahl der Objekte kann natürlich nicht skaliert werden. Aber auch eine Skalierung der Kapazitätsgrenze ist nicht zielführend, da die Kapazitätsgrenze **exakt** eingehalten werden muss.
- ▶ Im Gegensatz dazu können die Werte der Objekte skaliert werden. Daher erstellen wir nun einen neuen dynamischen Programmier-Ansatz, bei dem die  $\text{OPT}$  Funktion von dem zu erreichenden Wert abhängt.

# 0/1-Rucksack Problem – Duales Dynamisches Programm

- ▶ Wir definieren eine rekursive Funktion  $\text{OPT}(k, v)$ , die angibt wieviel Gewicht mindestens notwendig ist, um mit einer Auswahl aus Objekten  $1, \dots, k$  einen vorgegebenen Wert  $v$  (oder mehr) zu erreichen und  $\infty$ , falls der Wert  $v$  gar nicht mit den Objekten erreicht werden kann.
- ▶  $V$  sei die Summe aller Werte:  $V = \sum_{k=1}^K v_k$ .
- ▶ Der Definitionsbereich von  $\text{OPT}$  ist  $0 \leq k \leq K$  und  $0 \leq v \leq V$ .
- ▶ Den Wert  $v = 0$  erreicht man ohne Objekte, also ist die Gewichtsgrenze  $\text{OPT}(k, 0) = 0$  für alle  $k$ .
- ▶ Mit  $k = 0$  Objekten, kann man keinen Zielwert  $v > 0$  erreichen.

$$\text{OPT}(k, v) = \begin{cases} 0 & \text{falls } v = 0 \\ \infty & \text{falls } k = 0 \text{ \& } v > 0 \\ \max(\underbrace{w_k + \text{OPT}(k-1, \max(0, v - v_k))}_{k \text{ ausgewählt}}, \underbrace{\text{OPT}(k-1, v)}_{k \text{ nicht ausgewählt}}) & \text{sonst} \end{cases}$$

## Korrektheit und Laufzeit der dualen 0/1-Rucksack Lösung

Der Algorithmus basierend auf dynamischer Programmierung mit der  $\text{OPT}$  Funktion von der vorigen Seite findet die optimale Lösung des 0/1-Rucksack Problems mit ganzzahligen Werten und Gewichten in einer Laufzeit in  $\mathcal{O}(KV)$ , wobei  $V$  die Summe der Werte aller Objekte ist:  $V = \sum_{k=1}^K v_k$ .

- ▶ Die Tabelle, die für die dynamische Programmierung benötigt wird, hat die Größe  $(K + 1)(V + 1)$ .
- ▶ Das Berechnen jedes Tabelleneintrags kann gemäß der  $\text{OPT}$  Funktion in konstanter Zeit ausgeführt werden.
- ▶ Insgesamt kann also die Tabelle in einer Laufzeit in  $\mathcal{O}(KV)$  bestimmt werden. □

# Analyse der dualen 0/1-Rucksack Lösung

- ▶ Nachtrag: Der Lösungswert steht nicht unbedingt am Ende der Tabelle in dem Eintrag  $(K, V)$ , sondern er muss aus der Tabelle herausgesucht werden.
- ▶ Man sucht den größten Wert  $v$ , für den  $OPT(K, v) \leq W$  gilt.
- **Vergleich der Lösungsvarianten für das Rucksackproblem:**
  - ▶ Laufzeit von Variante 1 mit  $OPT(k, W)$  ist in  $\mathcal{O}(KW)$ .
  - ▶ Laufzeit von Variante 2 mit  $OPT(k, v)$  ist in  $\mathcal{O}(KV)$ . Für den maximalen Wert der Objekte  $\bar{v} = \max_k(v_k)$  erhalten wir die **grobere** Abschätzung  $\mathcal{O}(K^2\bar{v})$ .
  - ▶ Welche Variante effizienter ist, hängt von der Kapazitätsgrenze und der Größe der Werte ab.
  - ▶ Die zweite Variante hat den Vorteil, dass sie die Grundlage für ein Approximationsschema liefert.



## Approximationsschema

Ein **Approximationsschema** für ein Optimierungsproblem ist ein Algorithmus, der zu jeder Eingabe mit optimalem Wert  $C^*$  und jedem  $\varepsilon > 0$  eine Lösung mit Wert  $C$  liefert, wobei  $(1 - \varepsilon)C^* \leq C \leq (1 + \varepsilon)C^*$  gilt.

- ▶ Von den angegebenen Grenzen ist die untere für Maximierungs- und die obere für Minimierungsprobleme relevant.
- ▶ Nun ist nicht nur interessant, wie sich die Laufzeit in Abhängigkeit von der Eingabe verhält, sondern auch, wie die **Laufzeit von  $\varepsilon$  abhängt**.
- ▶ Man nennt ein Approximationsschema ein **Approximationsschema mit vollständig polynomieller Laufzeit**, falls seine Laufzeit polynomiell in der Größe der Eingabe und in  $\frac{1}{\varepsilon}$  ist.

# Approximationsschema für das 0/1-Rucksack Problem

- ▶ Seien  $K$  Objekte mit Gewichten  $w_k$  und Werten  $v_k$  sowie eine Kapazitätsgrenze  $W$  gegeben. Sei  $\bar{v} = \max_k(v_k)$  der maximale Wert eines Objektes.
- ▶ Zu der gegebenen Approximationsgüte  $\varepsilon > 0$  definieren wir  $E = \varepsilon \frac{\bar{v}}{K}$ .
- ▶ Wir gehen davon aus, dass es keine Objekte mit einem Gewicht  $w_k > W$  gibt. Dies ist keine Einschränkung, weil solche Objekt sowieso nicht ausgewählt werden könnten.
- ▶ Wir benutzen  $E$  als Skalierungsfaktor und berechnen neue Werte  $v'_k = \lfloor \frac{v_k}{E} \rfloor = \lfloor \frac{K}{\varepsilon} \frac{v_k}{\bar{v}} \rfloor$ . Die skalierten Werte liegen also zwischen 0 und  $\frac{K}{\varepsilon}$ .
- ▶ Nun wird der zuvor skizzierte Algorithmus auf das Problem mit den skalierten Werten  $v'_k$  angewendet.

## Approximationsschema für den 0/1-Rucksack

Der oben beschriebene Algorithmus ist ein Approximationsschema mit vollständig polynomieller Laufzeit.

# Approximationsgüte

- ▶ Sei  $S$  eine optimale Lösung für das Originalproblem die Wert  $V^* = \sum_{k \in S} v_k$  erzielt und  $S'$  eine optimale Lösung für die skalierten Werte  $v'_k$  (vom Approx.-Alg.).
- ▶ Da  $S'$  optimal für die skalierten Werte  $v'_k$  ist, erhalten wir:

$$\sum_{k \in S'} v'_k \geq \sum_{k \in S} v'_k = \sum_{k \in S} \lfloor \frac{v_k}{E} \rfloor \geq \sum_{k \in S} (\frac{v_k}{E} - 1) \geq \frac{V^*}{E} - K$$

- ▶ Nun können wir die Werte der Lösung des Approximations-Algorithmus bezogen auf die Originalwerte abschätzen:

$$\sum_{k \in S'} v_k \geq \sum_{k \in S'} v'_k E \geq (\frac{V^*}{E} - K)E = V^* - KE \geq V^*(1 - \varepsilon)$$

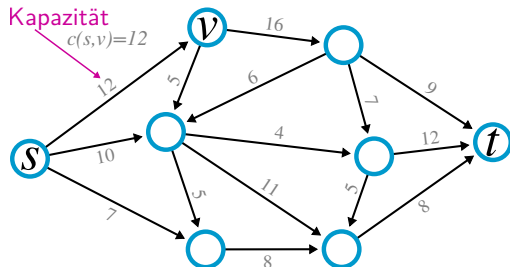
wobei die letzte Ungleichung mit  $\bar{v} \leq V^*$  aus  $E = \varepsilon \frac{\bar{v}}{K} \leq \varepsilon \frac{V^*}{K}$  folgt.

- ▶ Laufzeit: Die Originaltabelle hat die Größe  $K \times V \leq K \times K\bar{v}$ , also ist skalierte Tabelle kleiner oder gleich  $K \times \frac{K\bar{v}}{E} = K \times \frac{K\bar{v}K}{\varepsilon\bar{v}} = K \times \frac{K^2}{\varepsilon}$ .
- ▶ Somit ist die Laufzeit in  $\mathcal{O}(\frac{K^3}{\varepsilon})$ .

- Bei der Approximation von NP-vollständigen Optimierungsproblemen kann folgendes passieren:
  - 1 Das Problem lässt sich **überhaupt nicht** approximieren, egal wie lax die Approximationsgüte angesetzt wird. Beispiel: TSP ohne Dreiecksungleichung
  - 2 Das Problem lässt sich approximieren, aber nur bis zu einer gewissen Grenze. Beispiel: TSP mit Dreiecksungleichung
  - 3 Das Problem kann **beliebig gut** approximiert werden. Beispiel: 0/1-Rucksack
- ▶ Bei dem letzten Punkt unterscheidet man noch danach, wie stark die Approximationsgüte die Laufzeit beeinträchtigt.
- ▶ Im guten Fall ist die Laufzeit polynomiell in Eingabegröße und  $\frac{1}{\varepsilon}$ .

# Flussgraphen

- ▶ Ein **Flussgraph** ist ein gewichteter Digraph  $G = (V, E)$ . Die Gewichte werden als **Kapazitäten** bezeichnet und sind **positiv**.
- ▶ Wir schreiben  $c(v, w)$  für die Kapazität der Kante  $v \rightarrow w$  und definieren  $c(v, w) = 0$  für  $v \rightarrow w \notin E$ .



- ▶ Weitere Voraussetzung: Es gibt eine ausgezeichnete **Quelle**  $s$  (Knoten mit Eingangsgrad 0) und eine ausgezeichnete **Senke**  $t$  (Knoten mit Ausgangsgrad 0).
- ▶ Man kann sich die Kanten als Leitungen vorstellen, durch die eine Flüssigkeit fließt.
- ▶ Ebenso kann z.B. der Fluss von Informationen durch Netzwerke modelliert werden.

# Definition Fluss

- ▶ Ein **Fluss** (*flow*) ordnet jeder Kante des Digraphen einen Fluss zu, mittels einer Funktion

$$f : V \times V \rightarrow \mathbb{R} \quad (\text{wobei } f(v, w) = 0 \text{ f\"ur } v \rightarrow w \notin E \text{ gesetzt wird}),$$

die die folgenden beiden Bedingungen erfüllt:

- ▶ **Kapazitätsbeschränkung:** (*capacity constraint*) Der Fluss jeder Kante ist **positiv** und höchstens gleich der Kapazität der Kante:

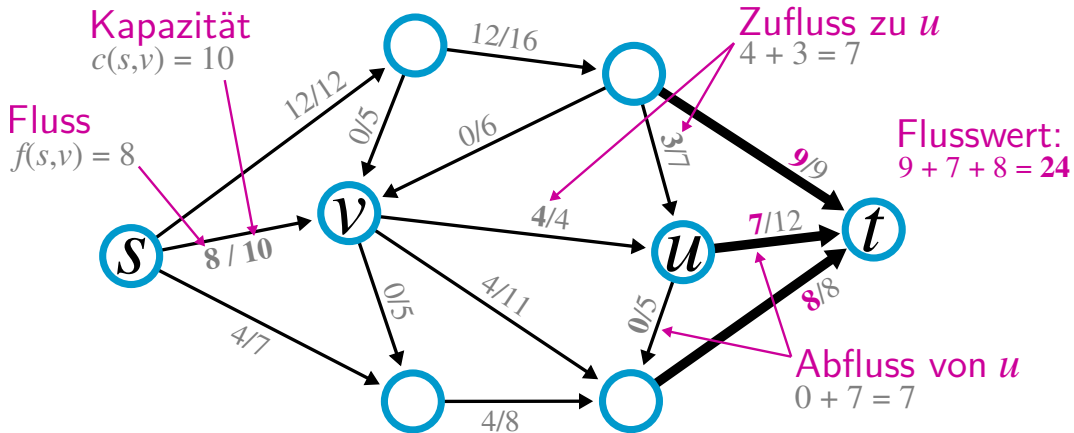
$$\forall v, w \in V : \quad 0 \leq f(v, w) \leq c(v, w)$$

- ▶ **Flusserhaltung:** (*local equilibrium*) Für jeden Knoten außer Quelle und Senke ist der **Zufluss** (Summe vom Fluss der Kanten nach  $v$ ) gleich dem **Abfluss**:

$$\forall v \in V - \{s, t\} : \quad \sum_{w \in V} f(w, v) = \sum_{w \in V} f(v, w)$$

- ▶ Der **Wert des Flusses** ist definiert als der Zufluss zur Senke:  $|f| = \sum_{v \in V} f(v, t)$ .

# Darstellung eines Flussgraphen mit einem Fluss



## ► Herausforderung:

Finde einen Fluss mit maximalem Wert (maximaler Fluss, *maxflow*)!

# Strategie zur Bestimmung des maximalen Flusses

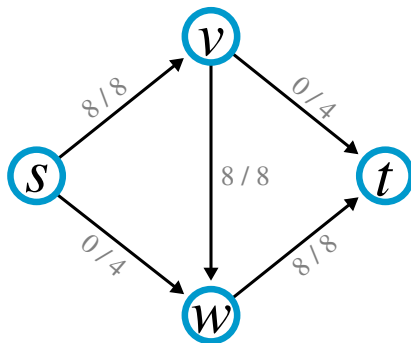
- 1 Startet man mit einem 0-Fluss ( $f(v, w) = 0$  für alle  $v, w$ ).
- 2 Suche iterativ Pfade von  $s$  nach  $t$ , entlang derer der Fluss erhöht werden kann.
  - ▶ Dazu führen wir die augmentierenden, bzw. **Fluss vergrößernden Pfade** ein.



# Fluss vergrößernde Pfade

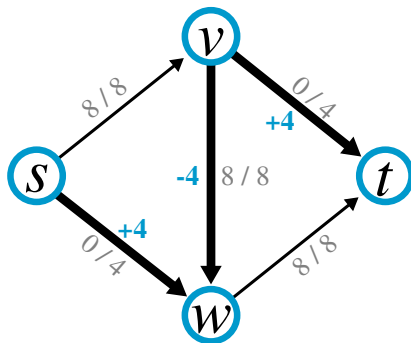
- ▶ Ein **(Fluss) vergrößernder Pfad** (*augmenting path*) ist ein **ungerichteter** Pfad von  $s$  nach  $t$ , durch den der Flusswert vergrößert werden kann.
- ▶ Dabei bedeutet *ungerichtet*, dass eine gerichtete Flusskante auch in **Gegenrichtung** benutzt werden kann. Trotzdem denkt man den Pfad in Richtung von  $s$  nach  $t$ .
- ▶ Um den Flusswert vergrößern zu können, müssen zwei Bedingungen erfüllt sein:
  - 1 Bei Kanten **in Pfadrichtung** ist die Kapazität **nicht ausgeschöpft**. Hier kann der Fluss vergrößert werden.
  - 2 Bei Kanten **gegen Pfadrichtung** ist der **Fluss größer als 0**. Hier kann der Fluss reduziert werden.
- ▶ Der **kritische Wert** ist der kleinste Wert, um den der Fluss entlang des Pfades
  - ▶ auf Kanten in Pfadrichtung **erhöht** und
  - ▶ auf Kanten gegen Pfadrichtung **reduziert** werden kann.
- ▶ Da die letzte Kante zu  $t$  **in Pfadrichtung** geht (da  $t$  eine Senke ist), wird der Flusswert um den kritischen Wert des Pfades erhöht.

## Kleines Beispiel zur Flussumplanung



- ▶ Es wird ein vergrößernder Pfad gewählt
- ▶ und der Fluss entsprechend um 8 Einheiten erhöht.

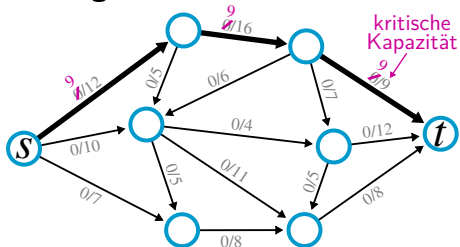
## Kleines Beispiel zur Flussumplanung



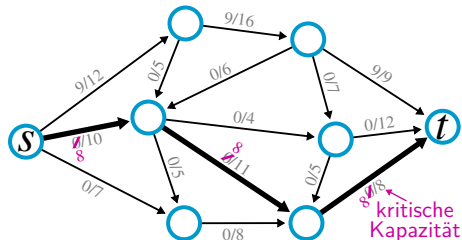
- ▶ Zur weiteren Erhöhung um 4 Einheiten, muss der Fluss von  $v$  nach  $w$  umgeplant werden.
- ▶ Der Fluss wird hier von 8 auf 4 vermindert (Kante  $v \rightarrow w$  gegen Pfadrichtung)
- ▶ Auf den Kanten in Pfadrichtung ( $s \rightarrow w$  und  $v \rightarrow t$ ) wird der Fluss um 4 erhöht.
- ▶ Insgesamt entspricht dies einer Erhöhung des Flusses entlang des Pfades  $s-w-v-t$  um 4.

# Vergrößernde Pfade

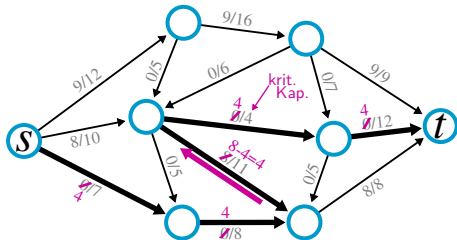
## 1. Vergrößernder Pfad



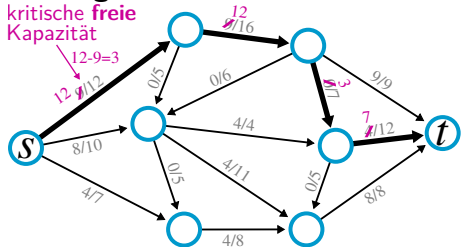
## 2. Vergrößernder Pfad



## 3. Vergrößernder Pfad



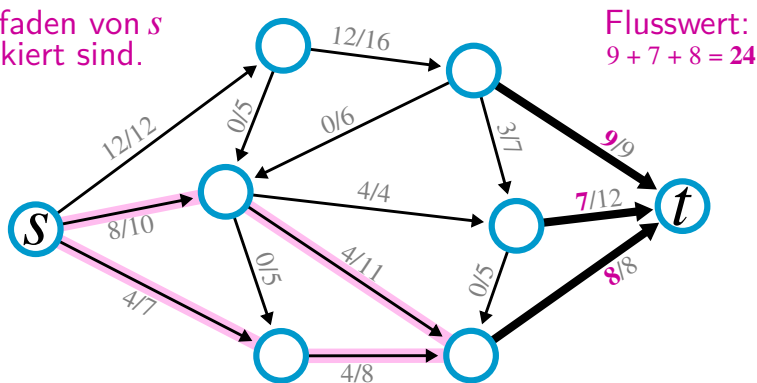
## 4. Vergrößernder Pfad



# Maximaler Fluss

- ▶ Wenn kein vergrößernder Pfad mehr existiert, ist der maximale Fluss gefunden.  
Beweis siehe Skript.
- ▶ Dies ist der Fall, wenn jeder Pfad von  $s$  nach  $t$  blockiert ist
  - ▶ durch eine Kante in Pfadrichtung ohne freie Kapazität ( $f(v, w) = c(v, w)$ ) oder
  - ▶ durch eine Kante gegen Pfadrichtung ohne Fluss ( $f(v, w) = 0$ ).
- ▶ Dann ist Zufluss zu der Senke der **maximale Fluss**.

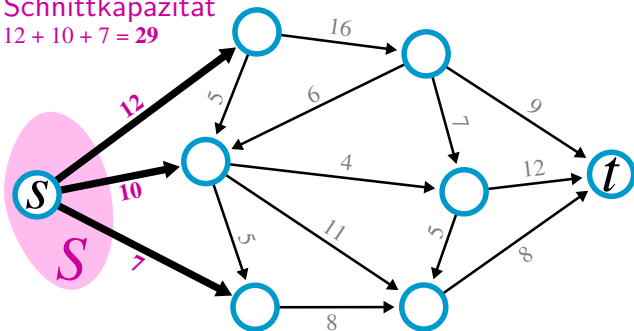
Kanten auf Pfaden von  $s$   
die nicht blockiert sind.



# Schnitte und minimaler Schnitt

- ▶ Ein  $s$  von  $t$  trennender **Schnitt** (*cut*) teilt die Knoten eines Flussgraphen in zwei zusammenhängende, nicht-leere Teilmengen  $S$  und  $T = V - S$ , wobei die Quelle in  $S$  und die Senke in  $T$  ist:  $s \in S$ ,  $t \in T$ .
- ▶ Die **Kapazität eines Schnittes** ist die Summe der Kapazitäten der kreuzenden Kanten **die  $S$  verlassen**. Kanten, die nach  $S$  hereinführen werden **nicht** gezählt.

Schnittkapazität  
 $12 + 10 + 7 = 29$

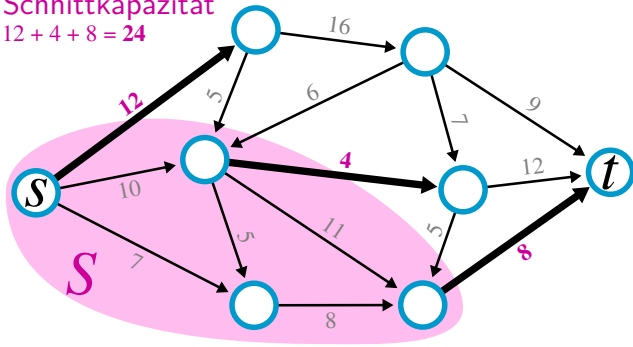


# Schnitte und minimaler Schnitt

- ▶ Ein  $s$  von  $t$  trennender **Schnitt** (*cut*) teilt die Knoten eines Flussgraphen in zwei zusammenhängende, nicht-leere Teilmengen  $S$  und  $T = V - S$ , wobei die Quelle in  $S$  und die Senke in  $T$  ist:  $s \in S$ ,  $t \in T$ .
- ▶ Die **Kapazität eines Schnittes** ist die Summe der Kapazitäten der kreuzenden Kanten **die  $S$  verlassen**. Kanten, die nach  $S$  hereinführen werden **nicht** gezählt.

Schnittkapazität

$$12 + 4 + 8 = 24$$



## Herausforderung:

Finde einen Schnitt mit minimaler Kapazität (minimaler Schnitt, *mincut*)!

## Bemerkung:

(Minimale) Schnitte werden für beliebige gewichtete Graphen betrachtet, nicht nur für Flussgraphen.

# Fluss über einen Schnitt

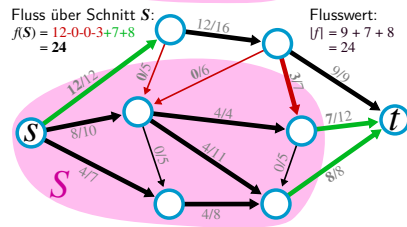
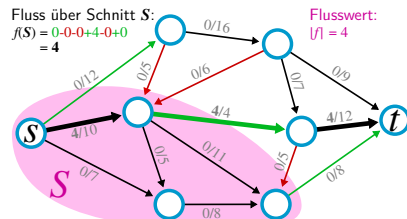
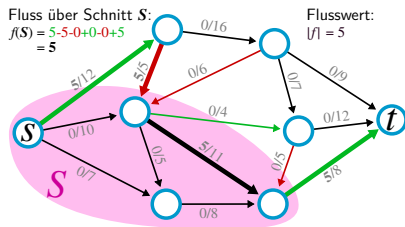
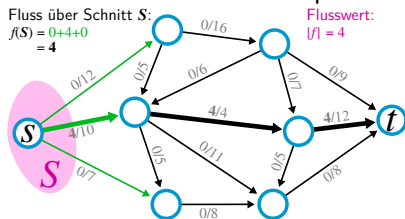
- Wir definieren als **Fluss über einen Schnitt**  $f(S)$  zu gegebenem Fluss  $f$  und Schnitt  $S$  die Summe über den Fluss aller **kreuzenden Kanten**. Dabei werden Kanten **aus**  $S$  positiv und Kanten **nach**  $S$  negativ gerechnet.



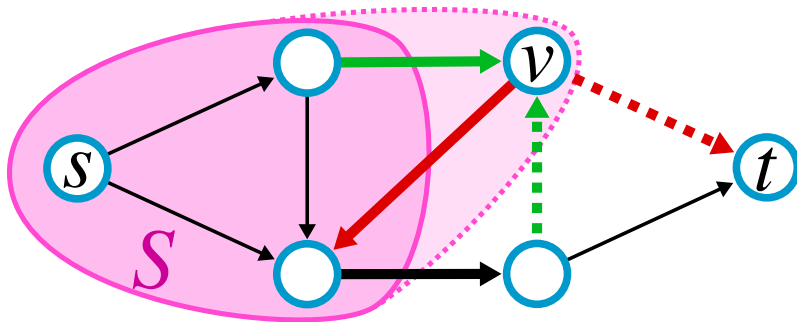
## Schnitttheorem: Zusammenhang von Flüssen und Schnitten

Der Fluss ist über alle Schnitte derselbe. Er entspricht immer dem Flusswert.

Zunächst betrachten wir ein paar Beispiele:



# Induktiver Beweis der Gleichheit des Flusses über alle Schnitte



- ▶ Es fällt weg (rot/grün gestrichelt): Fluss der Kanten von  $v$  nach  $T$  und der negativ gewichtete Fluss der Kanten von  $T$  nach  $v$ .
- ▶ Es kommt hinzu (rot/grün durchgezogen): Fluss der Kanten von  $S$  nach  $v$  und der negativ gewichtete Fluss der Kanten von  $v$  nach  $S$ .
- ▶ In Summe kommt also der Zufluss nach  $v$  dazu (grün), und es wird der Abfluss von  $v$  abgezogen (rot). Nach der Flusserhaltungsbedingung (S. 22) ergibt dies 0.  $\square$

## Alternativer, rechnerischer Beweis

- ▶ Der Sachverhalt kann auch direkt, ohne Induktion, bewiesen werden.
- ▶ Wir nehmen die Definition des Fluss eines Schnittes und addieren den folgenden Term, der 0 ergibt, da beide Summen über alle Kanten innerhalb  $T$  laufen:

$$\sum_{\substack{v \rightarrow w \in E \\ v \in T, w \in T}} f(v, w) - \sum_{\substack{w \rightarrow v \in E \\ v \in T, w \in T}} f(w, v)$$

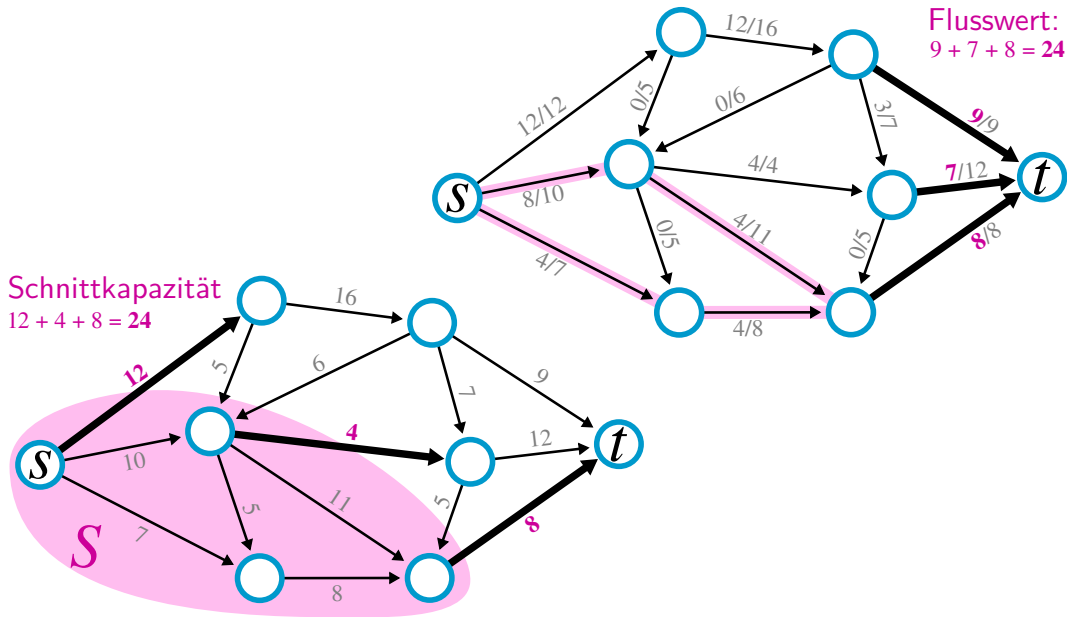
- ▶ Auf diese Weise erhalten wir nach Umsortieren der Summanden:

$$f(S, T) = \sum_{\substack{v \rightarrow w \in E \\ v \in S, w \in T}} f(v, w) - \sum_{\substack{w \rightarrow v \in E \\ v \in S, w \in T}} f(w, v) \quad \text{Definition Fluss über Schnitt}$$

$$= \sum_{\substack{v \rightarrow w \in E \\ v \in V, w \in T}} f(v, w) - \sum_{\substack{w \rightarrow v \in E \\ v \in V, w \in T}} f(w, v) \quad \begin{array}{l} \text{Addition von obigem Term,} \\ V = S \cup T \text{ und Umsortieren} \end{array}$$

$$= \sum_{w \in T} (\text{Zufluss zu } w - \text{Abfluss von } w) = |f| \quad \begin{array}{l} \text{Wegen Flusserhaltung S. 22} \\ \text{bleibt nur der Term für } t. \end{array}$$

# Zusammenhang: Maximaler Fluss und minimaler Schnitt



# Maximaler Fluss und minimaler Schnitt durch vergrößernde Pfade

## Vergrößernde Pfade und maximaler Fluss

Ein Fluss  $f$  ist genau dann maximal, wenn es keine vergrößernden Pfade gibt.

► Zum Beweis (siehe Skript) wird die Äquivalenz der folgenden drei Aussagen für einen Fluss  $f$  gezeigt:

1 Es gibt einen Schnitt, dessen Kapazität mit dem Wert von  $f$  übereinstimmt.

2  $f$  ist ein maximaler Fluss.

3 Es gibt keinen vergrößernden Pfad für  $f$ .

► Die Äquivalenz von 1 und 2 ergibt auch folgenden Sachverhalt:

## Maximaler Fluss und minimaler Schnitt

Der Wert des maximalen Flusses entspricht der Kapazität des minimalen Schnittes.

# Allgemeine Methode zum Identifizieren des maximalen Flusses

Von **Ford-Fulkerson** wurde die Technik der vergrößernden Pfade entwickelt, um eine allgemeine Methode zum Identifizieren des maximalen Flusses in Flussgraphen anzugeben:

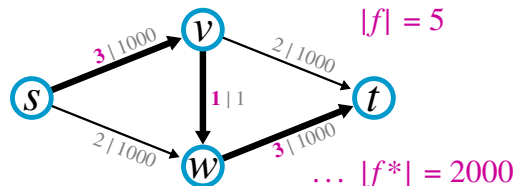
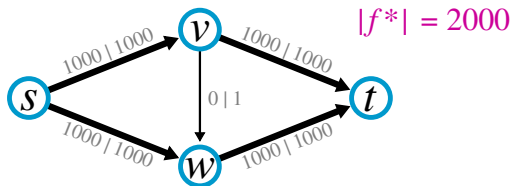
```
1 for each  $e$  in  $E$ 
2    $f(e) \leftarrow 0$ 
3 end
4 while es gibt einen vergrößernden Pfad  $p$  in  $(G, f)$  do
5    $cv \leftarrow$  kritischer Wert von  $f$ 
6   vergrößere  $f$  entlang  $p$  um  $cv$ 
7 end
```

- ▶ Mit “vergrößere  $f$  entlang  $p$  um  $cv$ ” ist das auf Seite 25 beschriebene Verfahren der vergrößernden Pfade gemeint:
  - ▶ Auf Kanten in Richtung des Pfades  $p$  wird der Fluss um  $cv$  erhöht und
  - ▶ auf Kanten gegen Richtung des Pfades  $p$  wird der Fluss um  $cv$  reduziert.

- ▶ **Korrektheit:** Wenn die allgemeine Ford-Fulkerson Methode terminiert, wissen wir nach dem Satz über vergrößernde Pfade (Seite 37), dass das Ergebnis ein maximaler Fluss ist.
- ▶ Bevor wir die Laufzeit diskutieren, die die Terminierung impliziert, besprechen wir Beispiele, die der Methode Schwierigkeiten bereiten.
- ▶ Dabei ist zu beachten, dass bisher keine Strategie zur Auswahl der vergrößernden Pfade spezifiziert wurde.
- ▶ Die Beispiele beruhen auf einer 'unglücklichen' Reihenfolge.

## Kleiner Flussgraph mit potenziell langer Laufzeit

- ▶ Der abgebildete Flussgraph hat den maximalen Fluss von  $|f^*| = 2.000$ , der durch die Kombination der beiden Pfade  $s \rightarrow v \rightarrow t$  und  $s \rightarrow w \rightarrow t$  mit jeweils 1.000 Einheiten erreicht wird.
- ▶ Eine unglückliche Wahl der vergrößernden Pfade ist ein Wechsel von  $s \rightarrow v \rightarrow w \rightarrow t$  und  $s \rightarrow w \rightarrow v \rightarrow t$ .
- ▶ Diese Pfade haben beide den kritischen Wert 1, so dass insgesamt 2.000 Iterationen nötig sind, um den maximalen Fluss  $|f^*|$  zu erzeugen.
- ▶ Dieses Beispiel zeigt auch, dass die Laufzeit der Ford-Fulkerson Methode, sofern kein geeignetes Verfahren zur Pfadauswahl angegeben wird, nicht nur von der Struktur des Graph, sondern auch von seinen Kapazitäten abhängen kann.







## Kleiner Graph ohne Terminierung

- ▶ Es gibt **keine Garantie**, dass die Ford-Fulkerson Methode **überhaupt terminiert**.
- ▶ Dies kann (nur) bei **irrationalen** Kapazitäten passieren, siehe Anhang, Folie 49.
- ▶ Wir beschränken uns daher auf **rationale Kapazität** und oBdA sogar auf Kapazitäten in  $\mathbb{N}^{>0}$ .
  - Beliebige rationale Zahlen können mit dem KGV aller Nenner multipliziert werden, um einen äquivalenten Flussgraphen mit Kapazitäten in  $\mathbb{N}^{>0}$  zu definieren.

## Laufzeit der Ford-Fulkerson Methode

Die Ford-Fulkerson Methode benötigt für einen Flussgraphen, dessen Kapazitäten natürliche Zahlen sind, eine Laufzeit in  $\mathcal{O}(E|f^*|)$ , wobei  $f^*$  der maximale Fluss ist.

- ▶ Alternativ kann die Laufzeit der allgemeinen Ford-Fulkerson Methode als  $\mathcal{O}(EVC)$  angegeben werden, wobei  $C$  eine obere Schranke für die Kapazitäten ist, da  $|f^*| \leq VC$ .
- ▶ Um eine Laufzeitschranke zu erzielen, die nur von der Größe des Graphen abhängt, muss man eine spezielle Strategie zur Auswahl des vergrößernden Pfades anwenden.
- ▶ Folgende Strategien scheinen plausibel:
  - ▶ Wähle einen vergrößernden Pfad mit wenigen Kanten
  - ▶ Wähle einen vergrößernden Pfad mit großem Fluss (großem kritischen Wert)

# Der Edmonds-Karp Algorithmus (Pfad mit wenigen Kanten)

- ▶ Der **Edmonds-Karp Algorithmus** wählt als vergrößernden Pfad in der Ford-Fulkerson Methode einen Pfad, der die wenigsten Kanten hat.
- ▶ Man fängt mit einem leeren Fluss  $f$  an. Der Fluss wird iterativ vergrößert:
- ▶ Wähle Pfad von  $s$  nach  $t$  im sogenannten Restgraphen  $G_f$  mit Breitensuche (geringste Kantenanzahl).
- ▶ Die Details werden in diesem Jahr nicht besprochen, stehen aber im Skript.

## Laufzeit des Edmonds-Karp Algorithmus

Der Edmonds Karp Algorithmus bestimmt den maximalen Fluss eines Flussgraphen in einer Laufzeit von  $\mathcal{O}(E^2V)$ .



## Verbesserungen der Laufzeit von Edmonds-Karp

- ▶ Bisher:  $O(VE)$  viele Flussvergrößerungen, jeweils  $O(E)$ , insgesamt  $O(E^2V)$ .
- ▶ Es gibt Beispiele für Flussgraphen, bei denen die **Anzahl der notwendigen Flussvergrößerungen** tatsächlich in  $\Theta(VE)$  liegt, wenn immer ein kürzester vergrößernder Pfad gewählt wird. An dieser Schranke ist also in Edmonds-Karp nichts zu verbessern.
- ▶ Es kann aber die **benötigte Zeit für Flussvergrößerungen** reduziert werden.
- ▶ Der *blocking-flow* Algorithmus wurde in [Dinic 1970] vorgeschlagen, also *vor* der Veröffentlichung von Edmonds-Karp.
- ▶ Dabei werden Pfade in einem 'Niveaugraphen' schrittweise aktualisiert, um jeweils den nächsten vergrößernden Pfad effizienter zu finden.
- ▶ Auf diese Weise lässt sich eine Laufzeit in  $O(EV^2)$  erreichen.
- ▶ Mit dynamischen Bäumen [Sleator & Tarjan 1983] kann sogar eine Laufzeit in  $O(EV \log V)$  erzielt werden.

# Der Kapazitätskontrolle Algorithmus (Pfad mit großem Fluss)

- ▶ Alternative Strategie zur Auswahl der vergrößernden Pfade:
- ▶ Wähle einen Pfad, der den **Fluss maximal vergrößert**.
- ▶ Dies wurde auch von Edmonds und Karp vorgeschlagen. Es fehlt aber eine effiziente Implementierung.
- ▶ Geben wir uns also mit weniger zufrieden: Der vergrößernde Pfad erhöht den Fluss **nicht maximal**, aber **relativ stark**.
- ▶ Parameter  $\Delta$  zum **Capacity Scaling**: Wähle nur Pfade mit einem Fluss  $\geq \Delta$ .
- ▶ Wenn es keine solchen Pfade mehr gibt, halbiere  $\Delta$  und iteriere.

# Laufzeit des *Capacity Scaling* Algorithmus

## Laufzeit des *Capacity Scaling* Algorithmus

Der *Capacity Scaling* Algorithmus bestimmt den maximalen Fluss in einer Laufzeit in  $O(E^2 \log C)$ . Dabei ist  $C$  die maximale Kapazität des Flussgraphen.

- Die Details werden in diesem Jahr nicht besprochen, stehen aber im Skript.

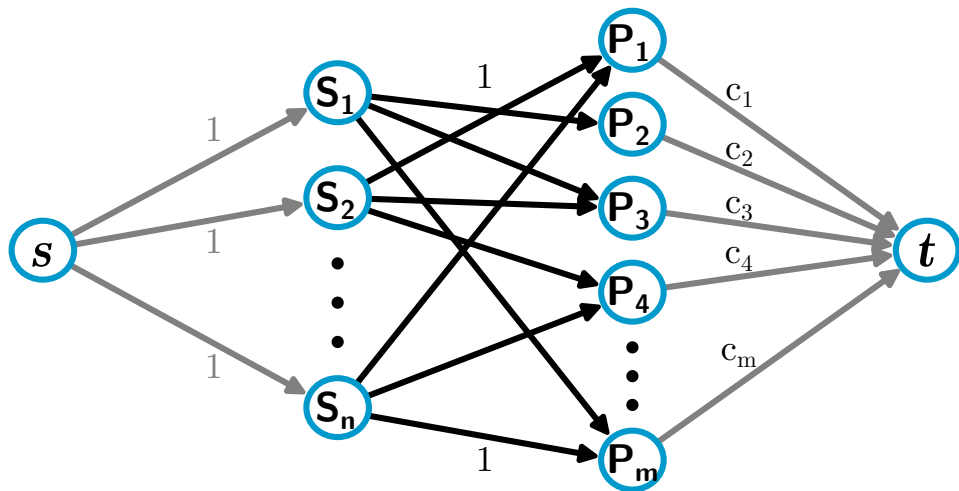
# Laufzeiten von *maxflow* Algorithmen

Die folgende Tabelle zeigt eine Übersicht über die Laufzeiten von *maxflow* Algorithmen für Flussgraphen mit ganzzahligen Kapazitäten.

Algorithmen zum Finden des Maximalen Flusses		
Algorithmus	<i>worst-case</i>	<i>alternativ</i>
Ford-Fulkerson	$O(E f^* )$	$O(EVC)$
Edmonds-Karp	$O(E^2V)$	
<i>blocking-flow</i>	$O(EV^2)$	
<i>blocking-flow</i> mit dynamischen Bäumen	$O(EV \log V)$	
<i>Capacity scaling</i>	$O(E^2 \log C)$	

$C$  ist die maximale Kapazität,  $|f^*|$  der maximale Fluss.

## Verteilung von Programmierpraktika mit *Maxflow*





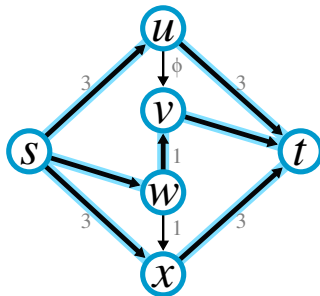
## Inhalt des Anhangs:

- ▶ Beispiel Flussgraph mit irrationalen Kapazitäten, für den die Ford-Fulkerson Methode bei ungünstiger Wahl der vergrößernden Pfade nicht terminiert: S. ??



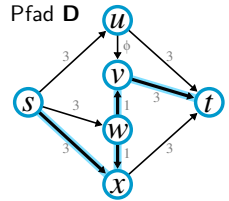
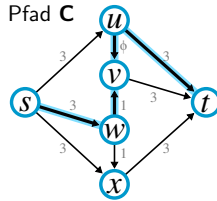
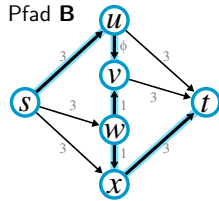
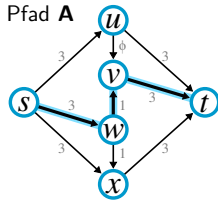
## Kleiner Graph ohne Terminierung

- ▶ Sei  $\phi = (\sqrt{5} - 1)/2$ , das Verhältnis des goldenen Schnittes.
- ▶ Es gilt  $\phi^2 = \left(\frac{\sqrt{5}-1}{2}\right)^2 = \frac{5-2\sqrt{5}+1}{4} = \frac{3-\sqrt{5}}{2} = 1 - \phi$
- ▶ und  $\phi - \phi^2 = \phi(1 - \phi) = \phi \cdot \phi^2 = \phi^3$ .
- ▶ Der abgebildete Graph hat einen maximalen Fluss von mindestens 7:  
Die Pfade  $s - u - t$  und  $s - x - t$  bringen jeweils 3 und  $s - w - v - t$  bringt 1.





# Kleiner Graph ohne Terminierung



Folgende Wahl vergrößernder Pfade führt zu einer **endlosen** Sequenz:



Pfad	Fluss	Restkapazitäten			
		$u \rightarrow v$	$v \rightarrow w$	$w \rightarrow x$	
A	1	$\phi$	0	1	$\rightarrow \phi^{k+1} \quad 0 \quad \phi^k \quad (\text{für } k = 0)$
B	$\phi$	0	$\phi$	$\phi^2$	da $1 - \phi = \phi^2$
C	$\phi$	$\phi$	0	$\phi^2$	
B	$\phi^2$	$\phi^3$	$\phi^2$	0	da $\phi - \phi^2 = \phi^3$
D	$\phi^2$	$\phi^3$	0	$\phi^2$	$\rightarrow \phi^{k+3} \quad 0 \quad \phi^{k+2} \quad (\text{für } k = 0)$
$A + K \cdot \text{BCBD}$	$1 + \sum_{k=1}^{2K} 2\phi^k$	$\phi^{2K+1}$	0	$\phi^{2K}$	



- ▶ Die Pfad Sequenz  $A$  und dann immer wiederholend  $B, C, B, D$  konvergiert nicht zum maximalen Fluss:

$$1 + 2 \sum_{k=1}^{\infty} \phi^k = 1 + \frac{2}{1 - \phi} = 4 + \sqrt{5} < 7$$

- ▶ Zum vollständigen Beweis fehlen noch folgende (einfachen) Punkte:
- ▶ Zeige die Eigenschaften der Sequenz (siehe vorige Seite) durch Induktion nach  $k$ .
- ▶ Zeige insbesondere  $1 - \phi^k = \phi^{k+1}$  und  $\phi^k - \phi^{k+1} = \phi^{k+2}$ .
- ▶ Prüfe bei der Induktion, dass die Kanten mit Kapazität 3 nicht über ihre Kapazitätsgrenzen gefüllt werden.

## Generell:

- ▶ Cormen TH, Leiserson CE, Rivest R, Stein C. *Algorithmen - Eine Einführung*. De Gruyter Oldenbourg, 4. Auflage; 2013. ISBN: 978-3486748611
- ▶ Dasgupta S, Papadimitriou CH, Vazirani UV. *Algorithms*. McGraw-Hill Higher Education; 2008. ISBN: 978-0073523408
- ▶ Ottmann T & Widmayer P. *Algorithmen und Datenstrukturen*. Springer Verlag, 5. Auflage; 2011. ISBN: 978-3827428042
- ▶ Kleinberg J, Tardos E. *Algorithm Design*. Pearson Education Limited; Auflage: Pearson New International Edition (30. Juli 2013). ISBN: 978-1292023946

## Anderes Vorlesungsmaterial:

- ▶ Röglin H. *Skript zur Vorlesung Randomisierte und Approximative Algorithmen*, Universität Bonn, <http://www.roeglin.org/teaching/WS2011/RandomisierteAlgorithmen/RandomisierteAlgorithmen.pdf>

- ▶ Wayne K. Vorlesung *Theory of Algorithms* (COS 423), Princeton University 2013.  
<https://www.cs.princeton.edu/courses/archive/spring13/cos423/lectures.php>
- ▶ Erickson J, *Algorithms lecture notes*, <http://algorithms.wtf>.

### Originalveröffentlichungen:

- ▶ Karpinski M, Lampis M, Schmied R. *New inapproximability bounds for TSP*. Journal of Computer and System Sciences. 2015 Dec 1;81(8):1665-77.
- ▶ Zwick U. *The smallest networks on which the ford-fulkerson maximum flow procedure may fail to terminate*. Theoretical computer science. 1995 Aug 21;148(1):165-70.
- ▶ Dinic EA. *Algorithm for solution of a problem of maximum flow in a network with power estimation*, Soviet Math. Dokl. 11 (5), 1277-1280, 1970.
- ▶ Sleator DD, Tarjan RE. *A data structure for dynamic trees*. Journal of computer and system sciences. 1983 Jun 1;26(3):362-91.

- ▶ Orlin JB. *Max flows in  $O(nm)$  time*. In: Symp. on Theory of Computing 2012 (pp. 765-774).

Bei der Darstellung der Algorithmen zu Flussgraphen habe ich viele Ideen von den großartigen Folien von Kevin Wayne zu seiner Vorlesung *Theory of Algorithms* (COS 423, Princeton University 2013) aufgenommen. (Seine Vorlesung orientiert sich seinerseits an den Büchern von Kleinberg & Tardos und von Kozen.)



# Index

- (Fluss) vergrößernder Pfad, 25
- Abfluss, 22
- Approximationsschema, 16
  - mit vollständig polynomieller Laufzeit, 16
- Approximativer Algorithmus, 3
- Capacity Scaling*, 45
  - Laufzeit, 46
- Edmonds-Karp
  - Laufzeit, 43
- Edmonds-Karp Algorithmus, 43
- Fluss, 22
  - Fluss über einen Schnitt, 31
- Flussgraph, 21
- Ford-Fulkerson
  - Laufzeit, 42
  - Pseudocode, 38
- Kapazität eines Schnittes, 30
- Kapazitätskontroll Algorithmus, 45
- Laufzeit
  - Capacity Scaling*, 46
- Minimaler Schnitt, 30
- Quelle, 21
- $\rho$ -Approximationsalgorithmus, 3
- Schnitt, 30
  - Kapazität, 30
  - minimaler, 30
- Senke, 21
- Travelling Salesman Problem
  - approximativer Ansatz, 4
- Wert des Flusses, 22
- Zufluss, 22